



БИООРГАНИЧЕСКАЯ ХИМИЯ

том 5 * № 12 * 1979

УДК 547.953

ЛИПИДНЫЕ ЗОНДЫ БИРАДИКАЛЬНОЙ ПРИРОДЫ ДЛЯ ИССЛЕДОВАНИЯ МЕМБРАННЫХ СИСТЕМ

Суханов В. А., Жданов Р. И.

*Институт по биологическим испытаниям химических соединений,
Купавна, Московская область*

Швец В. И.

Институт тонкой химической технологии им. М. В. Ломоносова, Москва

Осуществлен синтез бирадикальных производных фосфатидилэтаноламина, содержащих нитроксильные фрагменты при 6-м и 10-м атомах углерода ацильных цепей (пальмитиновой и стеариновой кислот соответственно), ацилированием гац-глицеро-3-фосфо(N-фталоил)этаноламина ангидридами в присутствии калиевых солей или имидазолидами указанных спин-меченых жирных кислот. Защищенную фталоильную группу удаляли мягким гидразинолизом с последующим докислением образовавшихся гидроксиламиновых производных до исходных нитроксильных радикалов двуокисью свинца в присутствии кислорода. Показано, что форма спектров ЭПР бирадикалов, примененных в качестве зондов для исследования различных биологических мембран при физиологических и низких температурах, чувствительна к различиям в молекулярной организации мембран.

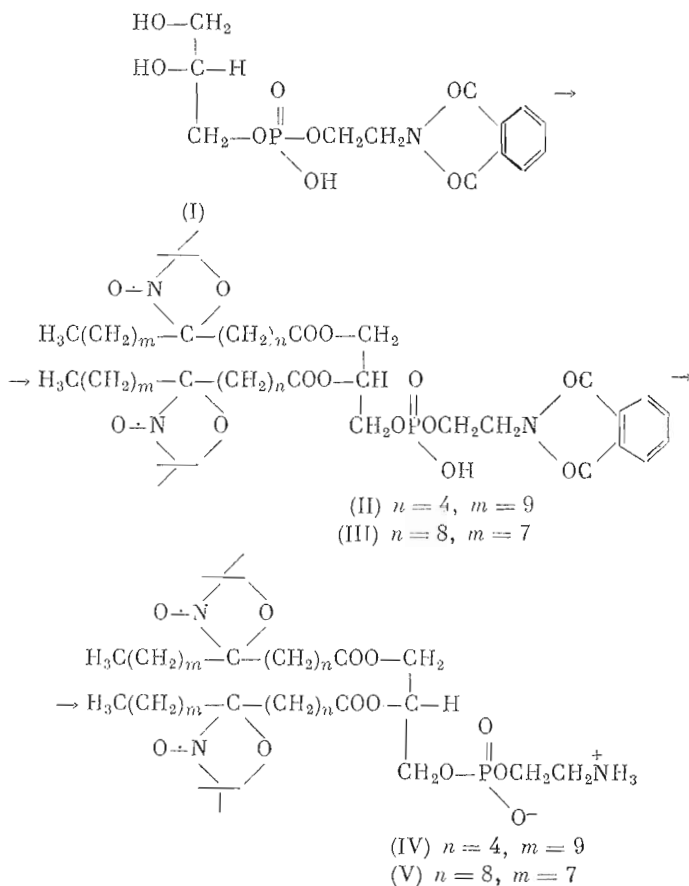
Спин-меченные фосфолипиды широко применяются для изучения свойств модельных и биологических мембран [1]. Однако производные фосфолипидов, содержащие спиновые метки в обеих жирнокислотных цепях, до сих пор изучались недостаточно. Сообщалось лишь о синтезе и ограниченном использовании подобных бирадикальных производных фосфатидилхолина [2], фосфатидовой кислоты [3] и фосфатидилинозита [4].

В то же время возрастает интерес к применению бирадикалов для изучения различных биологических систем, в том числе модельных и биологических мембран. Так, бирадикал на основе холестерина использовали при изучении модельных мембран [5], а бирадикалы с гибкой цепью между пиперидиновыми циклами оказались чувствительны к конформационным изменениям в мембранином препарате Na^+ , K^+ -АТР-азы [6]. Наглядным подтверждением этого интереса явилась работа по обнаружению кластеризации гидрофобных бирадикальных моделей липидов в липосомах [7].

Следует отметить, что существующие теории анализа спектров бирадикалов [1] в принципе позволяют применять бирадикальные фосфолипидные зонды, например, для сравнительной оценки средних расстояний между нитроксильными группами в биологических системах. Липидные бирадикальные зонды могут оказаться полезными при изучении плотности упаковки разрыхленных мембранных структур с ослабленными гидрофобными взаимодействиями между липидами, например в лизофосфати-

дилхолиновых мицеллах или в мицеллах с участием детергентов. В связи со сказанным мы синтезировали спин-меченные производные фосфатидилэтаноламина, содержащие нитроксильные радикалы при 6-м и 10-м углеродных атомах пальмитиновой и стеариновой кислот соответственно, и изучили их спектры ЭПР в некоторых биологических системах.

Защищенные фосфатидилэтаноламины бирадикального типа (II, III) синтезировали ацилированием глицерофосфата (I) ангидридами в присутствии калиевых солей или имидазолидами гексадекан-6-спиро-2'-(N-оксипр-4',4'-диметилюксазолидин)овой и октадекан-10-спиро-2'-(N-оксипр-4',4'-диметилюксазолидин)овой кислот. Исчерпывающее ацилирование глицерофосфата (I) ангидридом стеариновой кислоты со спиновой меткой при C₁₀ в присутствии ее калиевой соли давало худшие результаты, чем подобная реакция при синтезе спин-меченых фосфоинозитидов [4]: выход целевого защищенного фосфатидилэтаноламина (III) не превышал 25%. Ацилирование проводилось в расплаве при 60–70°C при оптимальном соотношении реагентов глицерофосфат — соль кислоты — ангидрид кислоты (1:2:4). При применении меньших количеств ангидрида кислоты наблюдалось образование не полностью ацилированных производных (лизофосфатидилэтаноламинов).



Более удобным оказалось использовать в качестве ацилирующих агентов имидазолиды спин-меченых жирных кислот. В случае имидазолида пальмитиновой кислоты со спиновой меткой при C₆ исчерпывающее ацилирование глицерофосфата (I) проводилось в расплаве при 45–50°C и 20–30 мм рт. ст. при соотношении реагентов имидазолид спин-меченой кислоты — глицерофосфат 2:1, выход целевого соединения (II) приближался к 40%.

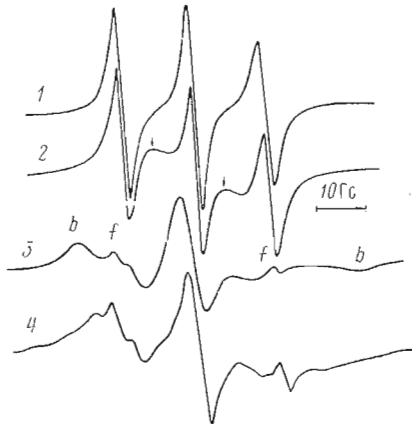


Рис. 1

Рис. 1. Спектры ЭПР при 25°C : 1 – бирадикала (V) в метаноле; 2 – бирадикала (IV) в метаноле; 3 – монорадикала (VI) в мембранах микросом печени; 4 – бирадикала (IV) в мембранах микросом печени. Условия регистрации: амплитуда модуляции (H_M) 1,25 Гц; мощность, поступающая в резонатор (P), 5 МВт

Рис. 2. Спектры ЭПР при -150°C : 1 – монорадикала (VI) в метаноле; 2 – монорадикала (VI) в мембранах микросом печени; 3 – бирадикала (IV) в метаноле; 4 – бирадикала (IV) в мембранах микросом печени; 5 – бирадикала (IV) в денатурированных мембранах микросом печени. Условия регистрации: $H_M=2,5$ (1, 2); 1,0 (3–5) Гц; P 2 МВт

Бирадикалы (II, III) для удаления защитной фталоильной группы подвергали мягкому гидразинолизу в метаноле. После доокисления образующихся при этом гидроксиламиновых производных двуокисью свинца в присутствии кислорода получали фосфатидилэтаноламины (IV, V), содержащие нитроксильные радикалы в составе их жирнокислотных остатков. Соединения (II–V) выделяли в индивидуальном состоянии хроматографически; установление их структуры, радикальной чистоты осуществляли с помощью ИК- и ЭПР-спектроскопии – методов, широко использованных в наших предыдущих работах по синтезу спин-меченых фосфоглицеридов [4, 8, 9], причем полученная при этом информация о чистоте, структуре и свойствах соединений (II–V) была практически идентична изложенным в указанных статьях.

Спектр ЭПР бирадикала (V) в метаноле при 25°C (рис. 1, 1) представляет собой тройчатую линию, мало отличающуюся от соответствующих спектров нитроксильных монорадикалов в разбавленных растворах [1, 10]. В спектре бирадикала (IV, рис. 1, 2) имеются две дополнительные линии, свидетельствующие о достаточно сильном обменном взаимодействии неспаренных электронов нитроксильных фрагментов [1, 10].

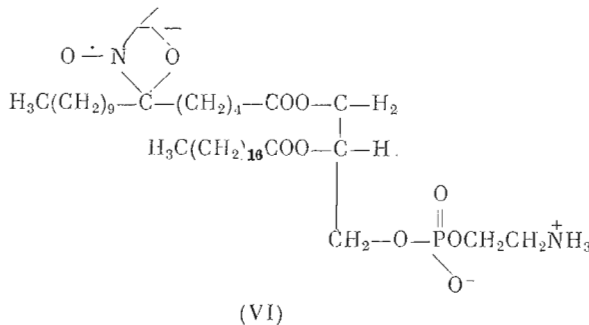


Рис. 2

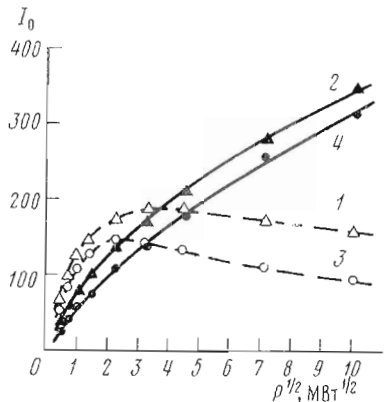


Рис. 3. Кривые насыщения центрального компонента I_0 (условные единицы) сигналов ЭПР монорадикала (VI) в метаноле (1) и мембранах микросом печени (3) и бирадикала (IV) в метаноле (2) и мембранах микросом печени (4) при -150°C . Условия регистрации те же, что и в рис. 2

ретикулума мышц кролика характеризуется $S=0,66$, а после введения в мембранны ДМСО (10% объемных) значение возрастает до 0,68. Следовательно, спектры бирадикала (IV) чувствительны к особенностям структуры (и молекулярных движений) в липидных слоях.

На рис. 2 показаны спектры ЭПР монорадикала (VI) и соответствующего ему бирадикала (IV) при -150°C в метаноле, а также спектры этих же моно- и бирадикалов в мембранных микросом печени и в таких же мембранных, денатурированных 20-минутным прогреванием при 65°C . Спектры ЭПР монорадикала (VI) в метаноле и мембранных микросом печени практически не различаются (рис. 2, 1, 2). Спектры ЭПР бирадикала (IV) в метаноле, мембранных микросом печени и денатурированных мембранных микросом печени отличаются от спектров монорадикала (VI) и друг от друга, в частности, глубиной «полочки» между низкопольевым и центральным максимумами спектра, соотношением этих максимумов по интенсивности и различным расстоянием между ними (рис. 2, 3–5). Таким образом, спиновый зонд бирадикальной природы (IV) в данном случае более чувствителен к изменению микроокружения, чем монорадикал (IV). Сравнивая спектры моно- (VI) и бирадикала (IV, рис. 2), можно заметить, что бирадикал (IV) образует систему с более сильным обменным взаимодействием (глубина «полочки» между низкопольевым и центральным максимумами спектра меньше, чем для монорадикала (VI)).

О более сильном обменном взаимодействии неспаренных электронов нитроксильных фрагментов в случае бирадикала (IV) свидетельствуют также кривые насыщения сигналов ЭПР моно- (VI) и бирадикалов (IV, рис. 3). Интенсивности сигналов (центральных компонентов спектров) монорадикала (VI) при -150°C в метаноле и мембранных микросом печени достигают максимальных значений при мощности СВЧ-излучения $P \approx 4-10 \text{ МВт}$ (рис. 3, 1, 3). В то же время интенсивность сигнала бирадикального зонда (IV) в метаноле и мембранных микросом печени растет с увеличением СВЧ-мощности во всем изученном интервале (рис. 3, 2, 4). Такое поведение кривой насыщения характерно для агрегатов нитроксильных радикалов с сильным обменным взаимодействием (кристаллы, кластеры и т. п.) [10]. Различия в частоте спиртового обме-

Спектр ЭПР монорадикала (VI) в мембранных микросом печени (рис. 1, 3) представляет собой суперпозицию двух сигналов: радикалов, связанных с мембранными (внешние экстремумы обозначены индексом b), и радикалов, находящихся в буферном растворе (экстремумы обозначены f). Упорядоченность и подвижность углеводородных цепей липидов в мембранных, содержащих спиртовые зонды, можно рассчитывать и сравнивать с помощью фактора упорядоченности (S) [1]. В данном случае S составляет 0,67. Спектр бирадикального зонда (IV) в тех же мембранных характеризуется меньшим значением $S=0,55$ (рис. 1, 4). Возможно, что бирадикальный фосфоглицерид (IV) в большей степени, чем соответствующий монорадикал (VI), возмущает локальную структуру липидного слоя мембранных, в связи с чем нитроксильные фрагменты бирадикала (IV) более подвижны. Для сравнения укажем, что тот же бирадикал (IV) в мембранных саркоплазматического

на между неспаренными электронами парамагнитных фрагментов в фосфоглицидах моно- и бирадикального типа могут быть использованы при изучении мембранных структур.

Экспериментальная часть

ИК-спектры снимали на спектрометре Perkin-Elmer 257 (США), спектры ЭПР — на радиоспектрометре Varian E-104 (США) с приставкой для термостатирования ($\pm 1^\circ\text{C}$).

Качественную и препаративную тонкослойную хроматографию (ТСХ) осуществляли на силикагеле Л (ЧССР) в системе хлороформ — метанол — ацетон (4 : 1 : 1). На этом же адсорбенте велась колоночная хроматография. Пять веществ на пластинках обнаруживали их опрыскиванием конц. H_2SO_4 с последующим прокаливанием пластинок при $300\text{--}400^\circ\text{C}$ или реагентом на фосфорсодержащие соединения [8, 9]. При проведении препаративной ТСХ полосы с веществами, содержащими нитроксильные радикалы, обнаруживали по характерному желтому окрашиванию.

В работе использовали карбонилдимидазол фирмы Fluka (Швейцария). Монорадикальное производное фосфатидилэтаноламина (VI) получали по методике [9]. Все синтезированные вещества имели удовлетворительные элементные анализы.

Выделение мембран микросом печени и определение концентрации белка проводили как в работе [11]. Мембранные саркоплазматического ретикулума мышц кролика выделяли по методике [12]. Спиновые зонды вводили в мембранны следующим образом: 1 мМ раствор радикала в смеси метанол — хлороформ упаривали в токе азота, затем добавляли суспензию мембран и встряхивали 30 мин при $18\text{--}20^\circ\text{C}$. Спин-меченные мембранны центрифугировали и измеряли сигнал ЭПР осадка в плоской кварцевой ячейке. Конечная концентрация зонда в суспензии мембран, определенная методом двойного интегрирования [1], была $10^{-4}\text{--}5 \cdot 10^{-5}\text{ M}$.

В качестве структурно-чувствительного параметра липидного бислоя измеряли параметр упорядоченности S , значение которого при увеличении вращательной подвижности углеводородных цепей мембранных липидов уменьшается от $S=1$ (вращение зонда только вокруг его длиной оси) до $S=0$ (изотропное вращение зонда в хаотическом жидкофазном окружении). Значение S рассчитывали по формуле [1]

$$S = \frac{T'_{\parallel} - T'_{\perp}}{T_{zz} - \frac{1}{2}(T_{xx} + T_{yy})} \cdot \frac{a}{a'},$$

где T'_{\parallel} и T'_{\perp} — половина расстояния соответственно между внешними и внутренними экстремумами первой производной спектра ЭПР (рис. 1, 3); T_{zz} , T_{yy} , T_{xx} — главные значения тензора сверхтонкой структуры (СТС) радикала в его монокристалле. В этой работе мы использовали главные значения тензора СТС спин-меченых жирных кислот: $T_{zz}=33,6\text{ Гс}$; $T_{yy}=5,8\text{ Гс}$; $T_{xx}=6,3\text{ Гс}$ [1]. Отношение параметров $a=\frac{1}{3}(T_{zz}+T_{yy}+T_{xx})$ и $a'=\frac{1}{3}(T'_{\parallel}+2T'_{\perp})$ введено в формулу в качестве поправки на различие полярности окружения радикала в мемbrane и монокристалле.

1,2-Дигексадекан-6-спиро-2'-(*N*-окси-4',4'-диметилоксазолидин)оил]-*rac*-глицеро-3-фосфо-(*N*-фталоил)этаноламин (II). В атмосфере аргона к 0,415 г гексадекан-6-спиро-2'-(*N*-окси-4',4'-диметилоксазолидин)овой кислоты [13] добавляли 0,190 г карбонилдимидазола в 3 мл бензола. Раствор перемешивали 10 мин при $18\text{--}20^\circ\text{C}$ до полного выделения CO_2 . Затем к раствору добавляли 0,196 г *rac*-глицеро-3-фосфо(*N*-фталоил)этаноламина (I) [14] и смесь упаривали досуха. Реакционную массу перемешивали 3 ч при $40\text{--}50^\circ\text{C}$, затем добавляли 2 мл воды и упаривали. Продукты реакции разделяли с помощью колоночной хроматографии. Бирадикал (II) элюировали смесью хлороформа и метанола, 195:5, и очищали

препартивной ТСХ. Получали 0,211 г (35,2%) желтого воскообразного вещества (II). R_f 0,42. ИК-спектр (см^{-1}): 1780 (C=O фталоильной группы), 1750—1720 (COOR), 1230—1180 (P=O), 1070, 1050 (P—O—C , C—O—C).

1,2-Ди[октадекан-10-спиро-2'-(N-оксил-4',4'-диметилоксазолидин)оил]-гас-глицеро-3-фосфо-(N-фталоил)этаноламин (III). К 0,200 г калиевой соли октадекан-6-спиро-2'-(N-оксил-4',4'-диметилоксазолидин)овой кислоты [13] добавляли 0,09 г глицерофосфата (I) в 2 мл метанола. Раствор упаривали досуха, приливали 2 мл бензола и снова упаривали. Смесь затем высушивали в течение 6 ч при 0,1 мм рт.ст., прибавляли 0,54 г ангидрида той же спиро-меченой кислоты [13], перемешивали 16 ч при 60° С. Продукт выделяли колоночной хроматографией на силикагеле, вымывая соединение (III) хлороформом с градиентом метанола от 2 до 15%. После удаления растворителей и высушивания вещества (2 ч, 0,1 мм рт.ст.) получали 0,07 г (24,3%) производного (III) в виде маслообразного соединения, R_f 0,45. ИК-спектр (см^{-1}): 1780 (C=O фталоильной группы), 1720 (COOR), 1240, 1180 (P=O), 1070 (P—O—C , C—O—C).

1,2-Ди[гексадекан-6-спиро-2'-(N-оксил-4',4'-диметилоксазолидин)оил]-гас-глицеро-3-фосфоэтаноламин (IV). К раствору 0,195 г соединения (II) в 5 мл метанола прибавляли 0,01 мл гидразин-гидрата. Температуру реакционной массы поднимали в течение 1 ч до 60° С и поддерживали ее 30 мин. Затем смесь охлаждали, нейтрализовали 50% водной уксусной кислотой, упаривали досуха и экстрагировали хлороформом (3×5 мл). К хлороформному экстракту добавляли 2 мл метанола, 0,5 г двуокиси свинца и смесь перемешивали 12 ч. Осадок отфильтровывали, фильтрат упаривали. Остаток разделяли препартивной ТСХ. Получили 0,068 г (40%) бледно-желтого маслообразного бирадикала (IV). R_f 0,15. ИК-спектр (см^{-1}): 3300—3200 ($^{\text{*}}\text{NH}_3$), 1740 (COOR), 1220 (P=O), 1070 (P—O—C , C—O—C).

1,2-Ди[октадекан - 10-спиро-2'-(N-оксил-4',4'-диметилоксазолидин)-оил]-гас-глицеро-3-фосфоэтаноламин (V). Фосфатидилэтаноламин (V) получали гидразинолизом 0,06 г фталоильного производного (III) по методике, описанной для соединения (IV). Выход вещества (V) в виде вязкого желтоватого масла составил 0,022 г (42%). R_f 0,15. ИК-спектр (см^{-1}): 3300—3200 ($^{\text{*}}\text{NH}_3$), 1740 (COOR), 1220 (P=O), 1070 (P—O—C , C—O—C).

ЛИТЕРАТУРА

1. Spin-Labeling: Theory and Applications (1976) Berliner L., ed., Acad. Press, N. Y.
2. Hubbell W. L., McConnell H. M. (1971) J. Amer. Chem. Soc., 93, 314—326.
3. Stanacev N., Stuhne-Secalec L., Schreier-Muccillo S., Smith I. C. P. (1974) Can. J. Biochem., 52, 884—893.
4. Shvets V. I., Sukhanov V. A., Okhanov V. V., Zhdanov R. I. (1979) Chem. Phys. Lipids, 23, 163—172.
5. Keana J. F. W., Dinerstein R. J. (1971) J. Amer. Chem. Soc., 93, 2808—2810.
6. Райхман Л. М., Бужинский Э. П., Мошковский Ю. Ш. (1973) Докл. АН СССР, 212, 246—250.
7. Rey P., McConnell H. M. (1977) J. Amer. Chem. Soc., 99, 1637—1641.
8. Суханов В. А., Жданов Р. И., Швец В. И., Евстигнеева Р. П. (1978) Биоорган. химия, 4, 785—790.
9. Sukhanov V. A., Zhdanov R. I., Shvets V. I. (1979) Chem. Phys. Lipids, 23, 155—162.
10. Пармон В. Н., Кокорин А. И., Жидомиров Г. М. (1977) Ж. структурн. химии, 18, 132—177.
11. Куликов А. В., Лихтенштейн Г. И. (1976) Молекулярн. биология, 10, 132—139.
12. Апнаев Б. П., Колтюков В. К., Райхман Л. М., Мамедиев О. Н., Розапцев Э. Г. (1972) Биофизика, 17, 224—232.
13. Суханов В. А., Швец В. И. (1979) Химия и технология органических производств, 9, вып. 2, 58—62.
14. Суханов В. А., Сергеевская Н. Л., Швец В. И., Евстигнеева Р. П. (1977) Ж. общ. химии, 47, 2130—2136.

Поступила в редакцию
8.V.1979

BIRADICAL LIPID PROBES FOR MEMBRANE STUDIES

SUKHANOV V. A., ZHDANOV R. I., SHVETS V. I.

*Institute for Biological Testing of Chemical Compounds,
Kupavna, Moscow Region; M. V. Lomonosov Institute of Fine Chemical
Technology, Moscow*

The phosphatidylethanolamine biradical derivatives comprising nitroxyl fragments at the C-6 and C-10 atoms of alkyl chains (palmitic and stearic acids, respectively) have been prepared by acylating *rac*-glycero-3-phospho-(N-phthaloyl)-ethanolamine, either with anhydrides in the presence of potassium salts, or with the imidazolides of the spin-labeled fatty acids. The protecting phthaloyl group was removed by mild hydrazinolysis followed by the PbO₂/O₂ oxidation of the derivatives thus formed into the starting nitroxyl radicals. The pattern of the EPR spectra of biradicals used as probes with various biological membranes at physiological and low temperatures was shown to be sensitive to the alterations in the molecular organization of membranes.
